УДК 669.046:622.615.001.57

### $P.\Phi$ . Калимуллин<sup>1</sup>, Е.В. Протопопов<sup>1</sup>, А.Г. Чернятевич<sup>2</sup>, И.А. Жибинова<sup>3</sup>

<sup>1</sup>Сибирский государственный индустриальный университет <sup>2</sup>Институт черной металлургии НАН Украины (г. Днепропетровск) <sup>3</sup>Кемеровский государственный университет

## МОДЕЛИРОВАНИЕ ТЕРМОГАЗОДИНАМИЧЕСКИХ ЗАКОНОМЕРНОСТЕЙ ТОРКРЕТИРОВАНИЯ ФУТЕРОВКИ КОНВЕРТЕРОВ КАРБОНАТНЫМИ ТОРКРЕТ-МАССАМИ

Одним из возможных ресурсо- и энергосберегающих вариантов горячих ремонтов футеровки конвертеров может быть комплексная технология, предусматривающая одновременную раздувку конечного шлака азотными газовыми струями и факельное торкретирование с использованием недефицитных торкрет-масс на основе необожженных огнеупорных материалов [1-3]. Схема такой технологии приведена на рис. 1. Ремонт футеровки конвертера в этом случае осуществляется с использованием специальной вертикальной газоохлаждаемой торкрет-гарнисажной фурмы (рис. 2), обеспечивающей совмещение операций раздувки шлака и факельное торкретирование [4].

Одновременно в процессе нанесения шлакового гарнисажа путем раздувки конечного шлака азотными струями на поверхность футеровки воздействуют торкрет-факелы, в соста-

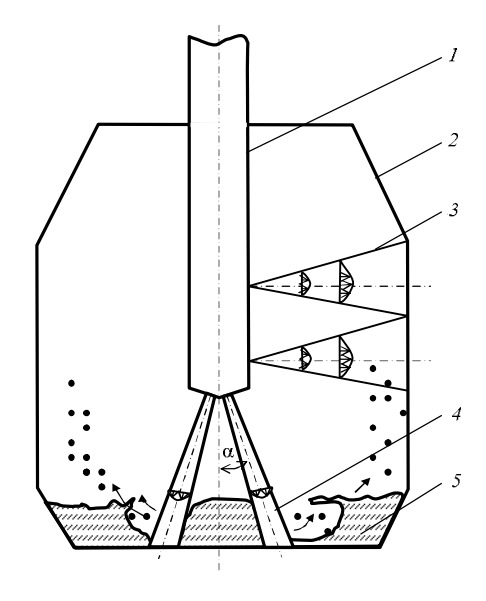


Рис. 1. Схема совместного нанесения шлакового гарнисажа и торкрет-покрытия на футеровку конвертера: 1 — торкрет-гарнисажная фурма; 2 — конвертер; 3 — торкрет-факел; 4 — нейтральная газовая струя; 5 — ванна шлака

ве торкрет-массы которых используются такие недефицитные материалы, как утилизированная пыль известково-обжигательного производства, угольная пыль установок сухого тушения кокса, сырые доломит или магнезит в порошкообразном виде. Основной задачей процесса раздувки конечного шлака ( $\tau = 3 \text{ ч 5 мин}$ ) является дополнительное нанесение на стены конвертера шлакообразующих составляющих (CaO, MgO), которые в течение последующей плавки и продувки конвертерной ванны будут принимать участие в процессе шлакообразования.

При таком варианте «горячего» ремонта футеровки конвертера обеспечивается формирование шлакового гарнисажа с повышенным содержанием оксидов магния и кальция (MgO и CaO) и необходимыми прочностными и огнеупорными свойствами покрытия непосредственно на футеровке. «Подложкой» выступает конечный шлак, который намораживается при разбрызгивании на стены конвертера, а в него внедряются (впрессовываются) высокоогнеупорные составляющие (MgO, CaO) торкрет-массы, принимающие участие в процессе формирования шлака в последующей плавке.

Для разработки технологии важным представляется информация об особенностях диссоциации карбонатов (известняка, сырого доломита, магнезита и т.д.), входящих в состав торкрет-массы. Таким образом, физическая постановка задачи будет иметь следующий вид.

На пути торкрет-факела к поверхности футеровки происходит диссоциация карбонатных частиц, включающая три последовательных этапа: подвод тепла к зоне реакции, химическую реакцию, отвод выделившегося в зоне реакции углекислого газа. Закономерности, описывающие химическое звено процесса диссоциации, могут проявляться только в ограниченной области условий, обеспечивающих принадлежность процесса к кинетической области (относи-

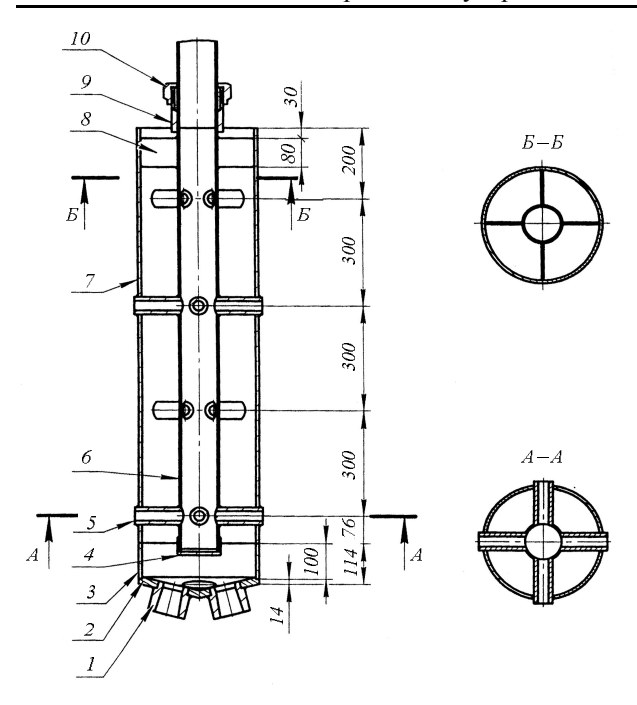


Рис. 2. Схема конструкции головки газоохлаждаемой торкрет-гарнисажной фурмы для конвертера емкостью 350 т:

1 – сопло Лаваля;
 2 – тарелка;
 3 – торцевой наконечник;
 4 – заглушка;
 5 – боковое цилиндрическое сопло;
 6 – внутренняя труба подачи торкрет-массы;
 7 – наружная труба;
 8 – фиксатор;
 9 – патрубок сальникового компенсатора;
 10 – гайка компенсатора

тельно низкие температуры, интенсивный подвод тепла и т.д.). В реальных условиях на скорость процесса могут накладывать ограничения процессы переноса тепла и массы.

В связи с недостаточным количеством сведений о параметрах рационального процесса торкретирования при использовании необожженных материалов необходима, прежде всего, информация о кинетических закономерностях диссоциации карбонатов за время нахождения в газовом потоке, условиях окисления и налипания раздуваемой угольно-карбонатной огнеупорной смеси на поверхности футеровки агрегата.

Возможность проведения обжига карбонатных материалов непосредственно в процессе факельного торкретирования оценивали с использованием разработанной математической модели процесса.

В основе разработанной модели лежат следующие принципы и предположения. Угольно-карбонатная пыль подается сжатым азотом в полость конвертера (1500 °C) в кольцевой оболочке струи кислорода через цилиндрические сопла. В специальной торкретгарнисажной фурме разработанной конструкции (рис. 2) для реализации рассматриваемой комплексной технологии в конвертерах ОАО «ЕВРАЗ объединенный Западно-Сибирский металлургический комбинат» емкостью 350 т

таких парных сопел на четырех горизонтах в цилиндрической части внутреннего пространства кислородного конвертера расположено 16. Внутренний диаметр сопла для вдувания торкрет-массы составляет 28 мм, а ширина кольцевой щели подачи кислорода – 4 мм. Общий расход торкрет-массы колеблется в пределах 0,8 - 1,0 т/мин при интенсивности подачи азота  $60 - 80 \text{ м}^3/\text{мин и кислорода } 160 -$ 250 м<sup>3</sup>/мин. Значения давления кислорода (8 МПа) и азота (4 МПа) у входа в соответствующие короткие сопла превышают критическое давление для цилиндрических сопел, и поэтому струи из сопел истекают со звуковыми скоростями в сжатом виде. После выходного сечения сопла происходит расширение струи, вызванное избыточным давлением и нагревом струи. После выравнивания давления струи и давления окружающей среды направленная струя вызывает инжекцию прилегающих объемов газовой атмосферы конвертера, что приводит к образованию конической формы потока по известным законам организации турбулентного факела [5, 6].

Формируемая сжатым азотом газопорошковая струя имеет большую плотность в сравнении с кислородной струей и «раскрывается» в меньшей степени (по разным данным угол ее раскрытия составляет 5 - 15°, тогда как раскрытие чисто газовой струи достигает 20 -25°). Поэтому в установившемся режиме работы факела в его сечении можно ожидать неравномерного распределения частиц пыли и компонентов газа. Зажигание угольных частиц происходит, очевидно, с внешней стороны факела и распространяется по ходу его движения внутрь. Запыленная струя имеет большую долю негорючего вещества, и это дополнительно задерживает момент загорания угольных частиц в центральном потоке.

Последовательная замена обожженных огнеупорных частиц на необожженные карбонатные материалы потребует затраты части теплоты горения угля на процесс диссоциации. Если доля угля в составе факела останется неизменной, то температура частиц, долетающих до стенки конвертера, естественно, понизится.

Полный расчет системы с учетом всех отмеченных особенностей затруднен из-за отсутствия ряда теплофизических данных, поэтому имеется два пути решения задачи. В первом случае можно оценить влияние последовательной замены части огнеупорной доли пылевоздушной струи карбонатными материалами, при этом придется воспользоваться расчетным температурным полем факела, полу-

ченным в работе [7] для условий работы фурмы, близких к описанным выше.

Во втором случае необходимо определить тепловой баланс системы в каждом локальном участке факела с учетом горения частиц топлива, диссоциации частиц карбонатных материалов, нагрева огнеупорных частиц и газового объема. На основании такого баланса можно оценить температурное поле факела [8].

В расчете конус основной части факела разбивается на дробные слои равной толщины и присваивается им расчетная температура, полученная в работе [4]. Далее составляется балансовая схема (по теплу) для каждого слоя факела и с учетом расхода части теплоты слоя на эндотермическую реакцию диссоциации рассчитывается новое значение температуры слоя.

Кинетику диссоциации карбоната (Ca, Mg)CO<sub>3</sub> фракции 40-60 мкм можно рассматривать в виде объемной модели, поскольку радиус частички карбонатного материала сопоставим с толщиной зоны размытия фронта реакции. Для частиц заданного размера можно использовать тепловую схему термически тонкого тела, температура которого определяется из соотношения скорости подвода теплоты и расходования теплоты на химическую реакцию и нагрев продуктов.

Временем формирования газообразной молекулы  ${\rm CO_2}$  и выхода ее на поверхность частицы пренебрегаем. После начала химического кипения карбонатного материала частица окружена газовым слоем  ${\rm CO_2}$ , градиент давления которого обеспечивает отток газа от этой частицы в окружающую среду. Поток газа в свободном пространстве зависит от коэффициента вязкости ( ${\rm V_{CO_2}}$ ), площади поперечного сечения потока и градиента давления (можно заменить градиентом концентраций, используя соотношение P=cRT). Тогда скорость  $V_g$  газового потока от частицы можно определить из уравнения

$$V_g = V_{CO_2} 4\pi r^2 (c^{\Pi} - c^{\Gamma});$$
 (1)

здесь  $c^{\Pi}$ ,  $c^{\Gamma}$  — концентрация  $CO_2$  у внешней поверхности частицы радиуса r и в газовом потоке.

Сопротивлением проницаемости образца и наличием градиента давления вдоль радиуса частички в расчете пренебрегали.

#### Фронтальная модель диссоциации сферической частицы карбонатного материала

Одной из важных особенностей механизма процесса диссоциации является очень высокая скорость подвода теплоты из-за высокого тем-

пературного градиента. Так, температура химического кипения даже самого термодинамически прочного карбонатного материала (карбоната кальция) составляет 1183 К, тогда как температура внутри факела может достигать 2000 – 2700 К [7]. Твердый раствор карбоната магния в карбонате кальция (доломитизированный известняк) имеет на первой ступени разложения (карбоната магния из раствора) температуру 1000 – 1020 К, т.е. более низкую, чем у СаСО3. Таким образом, из-за очень высокого температурного градиента можно принять, что фронты диссоциации и первой, и второй ступеней совпадут, и в зоне активного реагирования расчетное значение равновесного давления станет повышенным. В этом случае отвод углекислого газа от фронта превращения можно представить как вязкостнодиффузионный. Поскольку оба потока имеют общую движущую силу (градиент концентраций) и протекают параллельно, то эффективный вязкостно-диффузионный коэффициент можно представить в виде

$$D_{effS} = (D_{v} + D_{D})\varepsilon/q , \qquad (2)$$

где  $D_{\rm v} = \frac{c_0 P_0}{{
m v} 
ho} - {
m коэ} \phi$  фициент проницаемости

потока, м²/с;  $c_0$  – проницаемость вещества, м²;  $\rho$  – плотность газа при давлении  $P_0$ , кг/м³;  $\nu$  – кинематическая вязкость газа, м²/с;  $D_D$  – коэффициент диффузии (Фика), м²/с;  $\varepsilon$  – пористость вещества; q – коэффициент неориентированности пор.

Таким образом, при равенстве скорости химической реакции диссоциации и скорости оттока углекислого газа ( $CO_2$ ) через слой извести и приведенную пленку, получаем следующую зависимость [9]:

$$\frac{\partial \omega_{\kappa}}{\partial \tau} = \frac{3(C_{i}^{*} - C_{i}^{\Gamma})}{r_{\kappa,0} \rho_{\kappa} \left[ \frac{1}{K_{G}} + \frac{r_{\kappa,0}(r_{\kappa,0} - r_{\kappa,i})}{D_{eff,S} r_{\kappa,i}} + \frac{r_{\kappa,0}^{2}}{k_{s,\kappa}} \right]}, \quad (3)$$

где 
$$\omega_{_{\rm K}} = \frac{r_{_{{
m K},0}}^3 - r_{_{{
m K},i}}^3}{r_{_{{
m K},0}}^3} \, -$$
 степень диссоциации кар-

бонатного материала;  $C_i^*$ ,  $C_i^{\rm r}$  — равновесная концентрация реакции диссоциации и концентрация вокруг i-й частицы карбонатного материала;  $K_G$  — константа массоотдачи, м/с;  $r_{\rm k,0}$  и  $r_{\rm k,i}$  — исходный и текущий радиус частицы;  $k_{\rm s,i}$  — константа скорости химической реакции, м/с.

Разделив переменные и проинтегрировав с учетом начальных условий ( $\tau=0,\ \omega=0$ ), при использовании выражения  $F=1-\left(1-\omega\right)^{1/3}$  получим следующую зависимость:

$$\tau = \frac{r_{\kappa,0} \rho_{\kappa}}{C_{i}^{*} - C_{i}^{r}} \left[ \frac{\omega_{\kappa}}{3K_{G}} + \frac{3F^{2} - 2F^{3}}{6D_{eff,S}} r_{\kappa,0} + \frac{F}{k_{s,\kappa}} \right].$$
 (4)

# Объемная модель диссоциации сферической частицы карбонатного материала

Как видно из анализа публикаций, связанных с кинетикой диссоциации карбонатных материалов, обычно принимается фронтальный характер процесса. Для образцов карбонатного материала, характерная фракция которых превышает 0,003 м, выбор такой модели подтверждается как прямыми наблюдениями фронта реагирования, так и хорошим согласованием кинетических экспериментов с результатами вычислительных экспериментов на фронтальных моделях. В то же время анализ кинетических и теплофизических возможностей процесса показывает, что реальный процесс должен развиваться с размытием зоны активного реагирования. Несмотря на то, что толщина этой зоны невелика и может не учитываться в крупных образцах, для мелких частиц карбонатного материала она может сравниться или даже превысить диаметр частицы. В этом случае может использоваться объемная модель процесса.

Баланс между расходуемой массой карбонатного материала и массой газа CO<sub>2</sub>, выделяемого из этого материала за счет протекания химической реакции диссоциации, имеет вид

$$\frac{4}{3}\pi r_{\kappa,0}^{3} \rho_{\text{CO}_{2}} \frac{\partial \omega_{\kappa}}{\partial \tau} = \frac{4}{3}\pi r_{\kappa,0}^{3} (1 - \omega_{\kappa}) k_{\nu} (C_{\kappa}^{*} - C^{\Gamma}).$$
 (5)

После соответствующих преобразований получим

$$\omega_{\kappa} = 1 - e^{-k_{\nu} \left(C_{\kappa}^* - C^{\Gamma}\right)\tau/\rho_{\kappa}} \tag{6}$$

или

$$\omega_{\kappa} = 1 - (1 - \varpi) e^{-k_{\nu} \left(C_{\kappa}^* - C^r\right) \Delta \tau / \rho_{\kappa}}; \qquad (7)$$

здесь  $k_{\nu}$  – константа объемной скорости реакции, 1/c;  $\varpi$  – степень диссоциации карбонатного материала на предшествующем интервале времени  $\Delta \tau$ .

Во время нахождения в раскаленном газовом потоке частица карбонатного материала

нагревается по радиационно-конвективному механизму. Обычно теплообмен на поверхности частицы задается уравнением

$$\alpha_{\kappa}(T_R - T) + \beta(T_R^4 - T^4) = -\lambda \frac{\partial T}{\partial R},$$
 (8)

при этом в случае термически тонкого тела температура всего тела постоянна. Тогда тело воспринимает такое количество теплоты, которое компенсируется эндотермической реакцией диссоциации. В этом случае уравнение (8) можно заменить на следующее:

$$4\pi R^{2} \left[\alpha_{\kappa} (T_{R} - T) + \beta (T_{R}^{4} - T^{4})\right] =$$

$$= \frac{4}{3}\pi R_{0}^{3} \Delta H_{T} \rho_{\kappa} \frac{\partial \omega}{\partial \tau}. \tag{9}$$

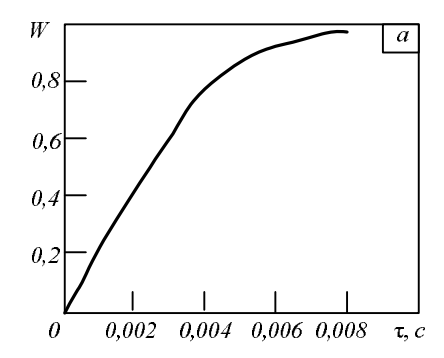
После преобразований с вводом приведенного коэффициента теплообмена ( $\alpha_{np}$ ) получим уравнение

$$T = T_R - \frac{\Delta H_T \rho_{\kappa} R_0}{3\alpha_{\rm np}} \frac{k_{\nu} (C^* - C^{\rm r})(1 - \omega)}{\rho_{\rm CO_2}}, \quad (10)$$

по которому можно вычислить температуру T образца карбонатного материала для заданной степени диссоциации. Для этой же степени диссоциации по выражению (6) можно определить время, необходимое для ее достижения. Результаты расчетов для температуры 1800 К приведены на рис. 3.

Представленные данные и результаты расчетов позволили сделать вывод, что быстрый прогрев частицы весьма эффективно влияет на кинетику диссоциации. За реальное время нахождения частицы в потоке она успевает нагреться до средней температуры факела. Таким образом, частичная замена огнеупорной пыли карбонатным материалом в торкрет-массе абсолютно допустима и обеспечивает возможность реализации такого варианта технологии торкретирования и ремонта футеровки.

Выводы. Для условий технологии ремонта футеровки конвертеров путем совместной раздувки конечного шлака с факельным торкретированием недефицитными торкрет-массами разработана модель диссоциации карбонатной пыли в торкрет-факеле. Результаты расчетов свидетельствуют о возможности существенной замены части обожженной огнеупорной составляющей торкрет-массы пылью доломитизированного известняка, сырого доломита и магнезита. Частицы огнеупора, карбонатного материала или продукта его диссоциации



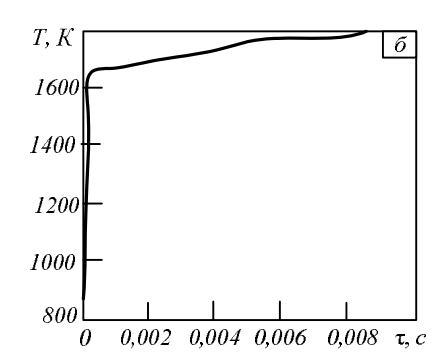


Рис. 3. Кинетика (скорость W уменьшения размера частиц) диссоциации частицы карбонатного материала размером 0,0025 м (a) и изменение ее температуры по ходу процесса  $(\delta)$ 

остаются твердыми вплоть до контакта с поверхностью футеровки. Капли золы выполняют роль связующего материала, удерживающего огнеупорные частицы на стенке конвертера. Примеси в самом огнеупорном материале снижают температуру их плавления и способствуют эффекту прилипания к футеровке.

#### БИБЛИОГРАФИЧЕСКИЙ СПИСОК

- 1. А й з а т у л о в Р.С., П р о т о п о п о в Е.В., С о к о л о в В.В. и др. Совершенствование технологии нанесения шлакового гарнисажа на футеровку конвертеров ОАО ЗСМК. В кн.: Современные проблемы производства стали и управление качеством подготовки специалистов. Материалы научно-методической конференции, посвященной 90-летию со дня рождения ученого-металлурга Меджибожского М.Я. (11 13 сентября 2002 г.). Мариуполь: изд. ПГТУ, 2002. С. 89—92.
- 2. Протопопов Е.В., Чернятевич А.Г., Соколов В.В. и др. Процессы теплообмена в условиях нанесения шлакового гарнисажа и факельного торкретирования футеровки конвертеров. Математическая модель // Изв. вуз. Черная металлургия. 2004. № 10. С. 8 13.
- 3. Протопопов Е.В., Чернятевич А.Г., Соколов В.В. и др. Исследование процесса нанесения шлакового гарнисажа

- на футеровку конвертера с использованием фурм, приспособленных для раздувки шлака и факельного торкретирования. В кн.: Труды VIII конгресса сталеплавильщиков, 18 22 октября 2004. Нижний Тагил, 2004. С. 133 139.
- **4.** Чернятевич А.Г., Протопопов Е.В., Шеремет В.А. и др. Разработка конструкций фурменных устройств для горячего ремонта футеровки конвертеров // Теория и практика металлургии. 2010.  $N_{\odot} 1 2(74 75)$ . С. 68 73.
- **5.** Абрамович Г.Н. Прикладная газовая динамика. М.: Наука. 1969. 824 с.
- **6.** Брюханов О.Н., Мастрюков Е.С. Аэродинамика, горение и теплообмен при сжигании топлива. Справочное пособие. СПб.: Недра, 1994. 317 с.
- 7. Шершнев А.А., Бадах В.Ф., Смыслов Ю.Н. // Огнеупоры. 1986. № 6. С. 46 49.
- **8.** Крейт Ф., Блэк У. Основы теплопередачи. М.: Мир, 1983. 512 с.
- 9. Теория металлургических процессов / В.Б. Охотский, О.Л. Костелов, В.К. Симонов и др. Киев: ИЗМН, 1997. 512 с.

© 2013 г. Р.Ф. Калимуллин, Е.В. Протопопов, А.Г. Чернятевич, И.А. Жибинова Поступила 19 сентября 2013 г.